

ГЛАВА 6. Аналитические методы решения задач теплопроводности

29. Метод конечных интегральных преобразований

Рассматриваемый метод широко применяется для определения температурного поля в телах сравнительно простой геометрической формы в виде пластин, цилиндров, сфер и стержней (ребер) различного поперечного сечения. Решение таких задач представляет интерес в целом ряде случаев. Например, в стационарной постановке задачи при оценке тепловых потоков, теряемых трубопроводами с горячим теплоносителем в установках жидкостных ракетных двигателей или поступающих из внешней среды к трубопроводу с криогенной жидкостью; при расчете температурного поля гладких и оребренных оболочек ЖРД; при вычислении потоков теплоты от горячего газа к ободу турбины; в процессе планирования тепловых испытаний образцов материалов; для анализа температурного состояния элементов конструкции ядерных реакторов с внутренним тепловыделением в их материале; в тепловом проектировании конструкций термостатов, предназначенных для обеспечения различных технологических операций и в других технических приложениях.

Если в указанных выше примерах допустимо считать вклад теплообмена излучением в суммарный теплообмен достаточно малым, то решения соответствующих задач можно проводить в линейной постановке.

Рассмотрим применение метода конечных интегральных преобразований к решению задач теплопроводности на примере определения одномерного температурного поля в элементах конструкции, имеющих форму пластин, цилиндров, сфер или стержней различного сечения, используя для этого следующую обобщенную формулировку краевой задачи

$$\frac{\partial \theta}{\partial F_0} = a_{\xi\xi} \frac{\partial^2 \theta}{\partial \xi^2} + b_{\xi} \frac{\partial \theta}{\partial \xi} + c_{\xi} \theta + F(\xi), \quad (29.1)$$

$$\xi = \xi_1 : \quad \gamma_1 \theta'(\xi_1) + \beta_1 \theta(\xi_1) = f_1(F_0), \quad (29.2)$$

$$\xi = \xi_2 : \quad \gamma_2 \theta'(\xi_2) + \beta_2 \theta(\xi_2) = f_2(F_0), \quad (29.3)$$

$$F_0 = 0 : \quad \theta(\xi, 0) = f(\xi), \quad (29.4)$$

где $F_0 = a\tau/h^2$ — число Фурье; $f(\xi) = T_0(\xi)/T_m$; $T_0(\xi)$ — начальное распределение температуры; T_m — температура, выбранная для приведения системы (29.1)–(29.4) к безразмерному виду; другие использованные здесь обозначения указаны в гл. 4, п. 24.

Для улучшения сходимости решения задачи (29.1)–(29.4) безразмерную температуру целесообразно определять в виде суммы нестационарной $\vartheta = \vartheta(\xi, F_0)$ и квазистационарной $\theta^* = \theta^*(\xi, F_0)$ составляющих

$$\theta = \vartheta + \theta^*. \quad (29.5)$$

Подстановка (29.5) в (29.1)–(29.4) приводит к следующим двум задачам: для определения квазистационарной (или стационарной) составляющей температурного поля:

$$a_{\xi\xi} \frac{\partial^2 \theta^*}{\partial \xi^2} + b_3 \frac{\partial \theta^*}{\partial \xi} + c_\xi \theta^* + F(\xi) = 0, \quad (29.6)$$

$$\gamma_1 \theta^*(\xi_1) + \beta_1 \theta^*(\xi_2) = f_1(F_0), \quad (29.7)$$

$$\gamma_2 \theta^*(\xi_2) + \beta_2 \theta^*(\xi_2) = f_2(F_0) \quad (29.8)$$

и для нестационарной составляющей температурного поля:

$$\frac{\partial \vartheta}{\partial F_0} = a_{\xi\xi} \frac{\partial^2 \vartheta}{\partial \xi^2} + b_3 \frac{\partial \vartheta}{\partial \xi} + c_\xi \vartheta + f(\theta^*), \quad (29.9)$$

$$\gamma_1 \vartheta'(\xi_1) + \beta_1 \vartheta(\xi_1) = 0, \quad (29.10)$$

$$\gamma_2 \vartheta'(\xi_2) + \beta_2 \vartheta(\xi_2) = 0, \quad (29.11)$$

$$\vartheta(\xi, 0) = f(\xi) - \theta^*(\xi, 0), \quad (29.12)$$

где

$$f(\theta^*) = -\frac{\partial \theta^*}{\partial F_0}.$$

Значение F_0 в (29.7) и (29.8), а в более общем случае и в функции $F(\xi) = F(\xi, F_0)$ используется в качестве параметра.

В граничных условиях (29.2), (29.3) и далее в (29.7), (29.8), (29.10), (29.11) с помощью коэффициентов $\gamma_1, \gamma_2, \beta_1, \beta_2$ реализуются граничные условия 1-го, 2-го, 3-го родов, а также любая их комбинация. Эти коэффициенты и функции $f_1(F_0), f_2(F_0)$ определяют простым сопоставлением граничных условий (29.2) и (29.3) с граничными условиями конкретной краевой задачи, записанной в безразмерной форме. Указанная процедура становится понятной из приведенного ниже примера.

Решение задачи (29.6)–(29.8) может быть получено в достаточно общей форме. Представим с этой целью решение однородного дифференциального уравнения ($F(\xi) = 0$)

$$a_{\xi\xi} \frac{\partial^2 \theta^*}{\partial \xi^2} + b_{\xi} \frac{\partial \theta^*}{\partial \xi} + c_{\xi} \theta^* = 0 \quad (29.13)$$

в виде

$$\theta^* = c_1 \psi(\xi) + c_2 \varphi(\xi), \quad (29.14)$$

где $\psi(\xi)$ и $\varphi(\xi)$ — фундаментальная система решений однородного уравнения (29.13). Вид этих функций для некоторых частных случаев, встречающихся в задачах теплопроводности, приведен в табл. 29.1.

Для получения общего решения неоднородного уравнения (29.6) воспользуемся методом вариации произвольных постоянных, в соответствии с которым, используя (29.14), запишем

$$\theta^{*'} = c_1 \psi'(\xi) + c_2 \varphi'(\xi) + c_1' \psi(\xi) + c_2' \varphi(\xi), \quad (29.15)$$

где

$$c_1' \psi(\xi) + c_2' \varphi(\xi) = 0 \quad (29.16)$$

и

$$\theta^{*''} = c_1 \psi''(\xi) + c_2 \varphi''(\xi) + c_1' \psi'(\xi) + c_2' \varphi'(\xi). \quad (29.17)$$

Подставляя (29.15) и (29.17) с учетом (29.16) в уравнение (29.6), найдем

$$\begin{aligned} & a_{\xi\xi} [c_1 \psi''(\xi) + c_2 \varphi''(\xi) + c_1' \psi'(\xi) + c_2' \varphi'(\xi)] + \\ & + b_{\xi} [c_1 \psi'(\xi) + c_2 \varphi'(\xi)] + c_{\xi} [c_1 \psi(\xi) + c_2 \varphi(\xi)] + F(\xi) = 0. \end{aligned} \quad (29.18)$$

Таблица 29.1. Выражения для функций

№	Форма тела и коэффициенты в уравнении (29.13)	Однородное уравнение теплопроводности	Функция $\psi(\xi)$	Функция $\varphi(\xi)$
1	Пластина: $a_{\xi\xi} = 1, b_{\xi} = c_{\xi} = 0$	$\theta^{*''} = 0$	ξ	1
2	Пластина пористая, охлаждаемая жидкостью: $a_{\xi\xi} = 1, c_{\xi} = 0, b_{\xi} = K = \frac{\dot{m}cl}{\lambda_c(1-p)}$	$\theta^{*''} - K\theta^{*'} = 0$	$\exp(K\xi)$	1
3	Цилиндр (сплошной или полый): $a_{\xi\xi} = 1, c_{\xi} = 0, b_{\xi} = \frac{1}{\xi}$	$\theta^{*''} + \frac{1}{\xi}\theta^{*'} = 0$	$\ln \xi$	1
4	Шар (сплошной или полый): $a_{\xi\xi} = 1, c_{\xi} = 0, b_{\xi} = \frac{2}{\xi}$	$\theta^{*''} + \frac{1}{\xi}\theta^{*'} = 0$	$\frac{1}{\xi}$	1
5	Прямое ребро переменного поперечного сечения (общий случай): $a_{\xi\xi} = \frac{S(\xi)}{S_0}, b_{\xi} = \frac{dS(\xi)}{d\xi} \frac{1}{S_0}, K = 0,$ $c_{\xi} = -\text{Bi} \frac{d\Phi(\xi)}{d\xi} \frac{1}{S_0}$	$a_{\xi\xi}\theta^{*''} + b_{\xi}\theta^{*'} + c_{\xi}\theta^{*} = 0$	$\psi(\xi)$	$\varphi(\xi)$

Продолжение таблицы 29.1

№	Форма тела и коэффициенты в уравнении (29.3)	Однородное уравнение теплопроводности	Функция $\psi(\xi)$	Функция $\varphi(\xi)$
6	Ребро (стержень) постоянного сечения: $a_{\xi\xi} = 1, c_{\xi} = -(ml)^2, b_{\xi} = 0,$ $m = \sqrt{\alpha\Pi/(\lambda S_0)}$	$\theta^{*''} - (ml)^2 \theta^{*'} = 0$	$\exp(-ml\xi)$	$\exp(ml\xi)$
7	Ребро треугольного и трапециевидного поперечного сечения с малым углом при вершине: $a_{\xi\xi} = 1, c_{\xi} = -(ml)^2, b_{\xi} = 1,$ $m = \sqrt{\alpha/\lambda\delta}$	$\xi\theta^{*''} + \theta^{*'} - (ml)^2 \theta^* = 0$	$I_0(2ml\sqrt{\xi})$	$K_0(2ml\sqrt{\xi})$
8	Круглое ребро постоянной толщины, равной 2δ : $a_{\xi\xi} = 1, c_{\xi} = -(ml)^2, b_{\xi} = \frac{1}{\xi},$ $m = \sqrt{\alpha/(\lambda\delta)}$	$\theta^{*''} + \frac{1}{\xi}\theta^{*'} - (ml)^2 \theta^* = 0$	$I_0(ml\xi)$	$K_0(ml\xi)$

Из (29.18) следует, что

$$a_{\xi\xi}[c'_1\psi'(\xi) + c'_2\varphi'(\xi)] + F(\xi) = 0 \quad (29.19)$$

так как сумма остальных слагаемых в (29.18) равна нулю, поскольку она удовлетворяет решению однородного уравнения (29.13).

Совместное решение (29.16) и (29.19) позволяет найти новые значения c_1 и c_2 :

$$c_1 = c_3 - H_1(\xi), \quad (29.20)$$

$$c_2 = c_4 + H_2(\xi), \quad (29.21)$$

где

$$H_1(\xi) = \int \frac{F(\xi)}{a_{\xi\xi}} \frac{\varphi(\xi)d\xi}{\varphi(\xi)\psi'(\xi) - \psi(\xi)\varphi'(\xi)}, \quad (29.22)$$

$$H_2(\xi) = \int \frac{F(\xi)}{a_{\xi\xi}} \frac{\psi(\xi)d\xi}{\varphi(\xi)\psi'(\xi) - \psi(\xi)\varphi'(\xi)}. \quad (29.23)$$

Подстановка c_1 и c_2 в виде соотношений (29.20) и (29.21) в уравнение (29.14) дает общее решение неоднородного уравнения (29.6)

$$\theta^* = c_3\psi(\xi) + c_4\varphi(\xi) - \psi(\xi)H_1(\xi) + \varphi(\xi)H_2(\xi). \quad (29.24)$$

Использование полученного решения (29.24) совместно с граничными условиями (29.7), (29.8) в результате преобразований приводит к следующим выражениям для постоянных интегрирования c_3 и c_4

$$c_3 = \frac{b_2b_3 - b_4}{b_1b_3 - 1}, \quad (29.25)$$

$$c_4 = \frac{b_1b_4 - b_2}{b_1b_3 - 1}, \quad (29.26)$$

где b_1, b_2, b_3 и b_4 связаны только с известными величинами в граничных условиях (29.7) и (29.8)

$$b_1 = \left[\frac{\gamma_2\psi'(\xi) + \beta_2\psi(\xi)}{\gamma_2\varphi'(\xi) + \beta_2\varphi(\xi)} \right]_{\xi=\xi_2}, \quad (29.27)$$

$$b_2 = \left[\frac{f_2(F_0) + [\gamma_2\psi'(\xi) + \beta_2\psi(\xi)] H_1(\xi)}{\gamma_2\varphi'(\xi) + \beta_2\varphi(\xi)} - H_2(\xi) \right]_{\xi=\xi_2}, \quad (29.28)$$

$$b_3 = \left[\frac{\gamma_1 \varphi'(\xi) + \beta_1 \varphi(\xi)}{\gamma_1 \psi'(\xi) + \beta_1 \psi(\xi)} \right]_{\xi=\xi_1}, \quad (29.29)$$

$$b_4 = \left[\frac{f_1(F_0) - [\gamma_1 \varphi'(\xi) + \beta_1 \varphi(\xi)] H_2(\xi)}{\gamma_1 \psi'(\xi) + \beta_1 \psi(\xi)} + H_1(\xi) \right]_{\xi=\xi_1}. \quad (29.30)$$

В случае, когда внутренние источники (стоки) энергии в теле отсутствуют ($F(\xi) = 0$), решение (29.24) упрощается и принимает вид

$$\theta^* = c_3 \psi(\xi) + c_4 \varphi(\xi). \quad (29.31)$$

Формулы (29.25) и (29.26) для определения c_3 и c_4 остаются справедливыми и в этом случае. Величины b_1 и b_3 находятся из (29.27) и (29.29), а b_2 и b_4 определяются из более простых выражений:

$$b_2 = \left[\frac{f_2(F_0)}{\gamma_2 \varphi'(\xi) + \beta_2 \varphi(\xi)} \right]_{\xi=\xi_2}, \quad (29.32)$$

$$b_4 = \left[\frac{f_1(F_0)}{\gamma_1 \psi'(\xi) + \beta_1 \psi(\xi)} \right]_{\xi=\xi_1}. \quad (29.33)$$

Если тепловой поток или температура на поверхности тела (граничные условия (29.2) и (29.3)) не изменяются во времени, то функции $f_1(F_0)$ и $f_2(F_0)$ в формулах (29.28), (29.30) и (29.32), (29.33) являются константами.

Для определения нестационарной составляющей температуры используем метод конечных интегральных преобразований (преобразований в конечных пределах). Применив с этой целью к уравнению (29.9) и начальному условию (29.12) интегральное преобразование вида

$$\bar{\vartheta}(F_0) = \int_{\xi_1}^{\xi_2} \rho(\xi) \vartheta(\xi, F_0) \bar{k}(\mu_n, \xi) d\xi,$$

получим

$$\frac{d\bar{\vartheta}(F_0)}{d(F_0)} = -\mu_n^2 \bar{\vartheta}(F_0) + \bar{f}(\theta^*) \quad (29.34)$$

$$\bar{\vartheta}(0) = \bar{f} - \bar{\theta}^*(0), \quad (29.35)$$

$$\begin{aligned}\bar{f}(\theta^*) &= \int_{\xi_1}^{\xi_2} \rho(\xi) f(\theta^*) \bar{k}(\mu_n, \xi) d\xi, \\ \bar{f} &= \int_{\xi_1}^{\xi_2} \rho(\xi) f(\xi) \bar{k}(\mu_n, \xi) d\xi, \\ \bar{\theta}^*(0) &= \int_{\xi_1}^{\xi_2} \rho(\xi) \theta^*(\xi, 0) \bar{k}(\mu_n, \xi) d\xi.\end{aligned}$$

Весовая функция $\rho(\xi)$ определяется из формулы

$$\rho = \rho(\xi) = \exp \left[- \int_{\xi_1}^{\xi} \frac{1}{a_{\xi\xi}} (a'_{\xi\xi} - b_{\xi}) d\xi \right].$$

В последнем выражении в качестве нижнего предела интегрирования используется любое число в интервале от ξ_1 до ξ_2 .

Ядро интегрального преобразования находится из решения граничной задачи Штурма–Лиувилля:

$$-(pk')' + (q - \mu^2 \rho) k = 0, \quad (29.36)$$

$$\gamma_1 k'(\xi_1) + \beta_1 k(\xi_1) = 0, \quad (29.37)$$

$$\gamma_2 k'(\xi_2) + \beta_2 k(\xi_2) = 0, \quad (29.38)$$

где $p = a_{\xi\xi}\rho$, $q = -c_{\xi}\rho$.

Представим решение уравнения (29.36) в виде

$$k = k(\mu_n, \xi) = \bar{B}_1 \psi(\mu_n, \xi) + \bar{B}_2 \varphi(\mu_n, \xi), \quad (29.39)$$

где $\psi(\mu_n, \xi)$ и $\varphi(\mu_n, \xi)$ — фундаментальная система решений уравнения (29.36), таблица 29.2.

Таблица 29.2. Выражения для функций $\psi(\mu, \xi)$ и $\varphi(\mu, \xi)$

№	Форма тела и коэффициенты в уравнении (29.6)	Уравнение для ядра преобразования $K(\lambda, \xi)$	Функция $\psi(\mu, \xi)$	Функция $\varphi(\mu, \xi)$	Примечания
1.	Пластина (монокристаллическая или пористая): $\rho = 1, p = 1, q = 0$	$K'' + \mu^2 \cdot K = 0$	$\cos(\mu\xi)$	$\sin(\mu\xi)$	
2.	Цилиндр (сплошной или полый): $\rho = \xi, p = \xi, q = 0$	$K'' + \frac{1}{\xi} \cdot K' + \mu^2 \cdot K = 0$	$J_0(\mu\xi)$	$Y_0(\mu\xi)$	
3.	Шар (сплошной или полый): $\rho = \xi^2, p = \xi^2, q = 0$	$K'' + \frac{2}{\xi} \cdot K' + \mu^2 \cdot K = 0$	$\xi^{-0.5} \cdot J_{0.5}(\mu\xi)$	$\xi^{-0.5} \cdot Y_{0.5}(\mu\xi)$	
4.	Ребро (стержень) постоянного поперечного сечения: $\rho = 1, p = 1, q = (ml)^2, \omega^2 = \mu^2 - (ml)^2$	$K'' + \omega^2 \cdot K = 0$	$\cos(\omega\xi)$ $\text{ch}(\omega\xi)$	$\sin(\omega\xi)$ $\text{sh}(\omega\xi)$	$\omega^2 > 0$ $\omega^2 < 0$
5.	Ребро треугольного и трапециевидного поперечного сечения с малым углом при вершине: $\rho = 1, p = \xi, q = (ml)^2, \omega^2 = \mu^2 - (ml)^2$	$\xi \cdot K'' + K' + \omega^2 \cdot K = 0$	$J_0(2\omega\sqrt{\xi})$ $I_0(2\omega\sqrt{\xi})$	$Y_0(2\omega\sqrt{\xi})$ $K_0(2\omega\sqrt{\xi})$	$\omega^2 > 0$ $\omega^2 < 0$
6.	Круглое ребро постоянной толщины: $\rho = \xi, p = \xi, q = \xi(ml)^2, \omega^2 = \mu^2 - (ml)^2$	$K'' + \frac{1}{\xi} K' + \omega^2 \cdot K = 0$	$J_0(\omega\xi)$ $I_0(\omega\xi)$	$Y_0(\omega\xi)$ $K_0(\omega\xi)$	$\omega^2 > 0$ $\omega^2 < 0$

В выражении (29.39) содержатся две неизвестных постоянных интегрирования \bar{B}_1 и \bar{B}_2 , а также собственные числа μ_n . Для их определения имеются только два граничных условия (29.37) и (29.38). Указанное затруднение может быть устранено, если обе части уравнения (29.39) поделить на одну из постоянных \bar{B}_1 или \bar{B}_2 , определив таким образом ненормированное ядро интегрального преобразования $k(\mu_n, \xi)$ с точностью до постоянной интегрирования. Основанием для такого шага служит то, что в решении рассматриваемой задачи для нестационарной составляющей температурного поля во всех выкладках используется только нормированное ядро, а процедура нормирования позволяет исключить зависимость $\bar{k}(\mu_n, \xi)$ от точности определения $k(\mu_n, \xi)$, связывая их соотношением

$$\bar{k}(\mu_n, \xi) = \frac{k(\mu_n, \xi)}{\sqrt{N}}, \quad (29.40)$$

где норма N находится из выражения

$$N = \int_{\xi_1}^{\xi_2} \rho(\xi) k^2(\mu_n, \xi) d\xi. \quad (29.41)$$

Поделив обе части (29.39) на \bar{B}_1 и используя условия (29.37) и (29.38), найдем новое значение B_2

$$B_2 = \frac{\bar{B}_2}{\bar{B}_1} = -\frac{\gamma_1 \psi'(\mu_n, \xi_1) + \beta_1 \psi(\mu_n, \xi_1)}{\gamma_1 \varphi'(\mu_n, \xi_1) + \beta_1 \varphi(\mu_n, \xi_1)}, \quad (29.42)$$

а также характеристическое уравнение для определения собственных чисел

$$\gamma_2 \varphi'(\mu_n, \xi_2) + \beta_2 \varphi(\mu_n, \xi_2) = -\frac{1}{B_2} [\beta_2 \psi(\mu_n, \xi_2) + \gamma_2 \psi'(\mu_n, \xi_2)]. \quad (29.43)$$

Деление (29.39) на \bar{B}_2 вместо \bar{B}_1 дает новое значение $B_1 = 1/B_2$, а выражение (29.43) остается неизменным.

Таким образом, соотношение для нахождения ненормированного ядра принимает одну из следующих форм:

$$k(\mu_n, \xi) = \psi(\mu_n, \xi) + B_2 \varphi(\mu_n, \xi), \quad (29.44)$$

или

$$k(\mu_n, \xi) = B_1 \psi(\mu_n, \xi) + \varphi(\mu_n, \xi), \quad (29.45)$$

где B_2 определяется по формуле (29.42), а $B_1 = 1/B_2$.

Решение для изображения нестационарной составляющей температурного поля, удовлетворяющее уравнению (29.34) и начальному условию (29.35), получается в виде

$$\bar{\vartheta}(F_0) = \exp(-\mu_n^2, F_0) \left[\bar{f} - \bar{\theta}^*(0) + \int_0^{F_0} \bar{f}(\theta^*) \exp(\mu_n^2 F_0) dF_0 \right]. \quad (29.46)$$

Для нахождения оригинала этой функции $\vartheta(x, F_0)$ используется формула обращения

$$\vartheta(\xi, F_0) = \sum_{n=1}^{\infty} \bar{\vartheta}(F_0) \bar{k}(\mu_n, \xi). \quad (29.47)$$

Решение исходной задачи (29.1)–(29.4) получается в результате суммирования квазистационарной и нестационарной составляющих температурного поля

$$\theta = \theta(\xi, F_0) = \theta^*(\xi) + \vartheta(\xi, F_0), \quad (29.48)$$

где функции в правой части (29.48) вычисляются по формулам (29.24) и (29.47) соответственно.

Полученное решение в обобщенном виде содержит в себе большой класс задач стационарной (29.24) и нестационарной (29.48) теплопроводности для тел канонической формы с постоянными теплофизическими свойствами и заданным законом распределения внутренних источников (стоков) теплоты.

30. Температурное поле в плоской пластине с объемными источниками теплоты

Рассмотрим в качестве примера определение нестационарного температурного состояния плоской пластины, внутри которой имеются равномерно распределенные в ее объеме источники теплоты, а на поверхностях заданы граничные условия третьего рода. Частными случаями

модели такой пластины является ряд важных технических приложений, встречающихся в ракетно–космической, радиоэлектронной и ядерной технике.

Представим математическую модель задачи в виде, рис. 30.1:

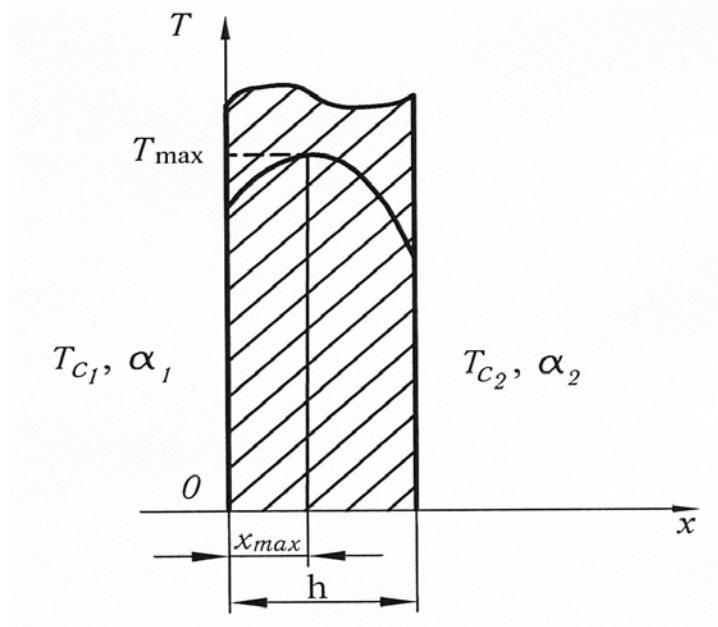


Рис. 30.1. К определению температуры в плоской пластине

$$\frac{\partial T(x, \tau)}{\partial \tau} = a \frac{\partial^2 T(x, \tau)}{\partial x^2} + \frac{q_V}{c\rho}, \quad (30.1)$$

$$\lambda \left(\frac{\partial T(x, \tau)}{\partial x} \right)_{x=0} = \alpha_1 [T(0, \tau) - T_{c1}], \quad (30.2)$$

$$-\lambda \left(\frac{\partial T(x, \tau)}{\partial x} \right)_{x=h} = \alpha_2 [T(h, \tau) - T_{c2}], \quad (30.3)$$

$$T(x, 0) = T_0, \quad (30.4)$$

где T_0 — начальная температура пластины, постоянная по ее толщине.

Для решения задачи (30.1)–(30.4) методом конечных интегральных преобразований удобно использовать её безразмерную форму записи:

$$\frac{\partial \theta(\xi, F_0)}{\partial F_0} = \frac{\partial^2 \theta(\xi, F_0)}{\partial \xi^2} + P_0, \quad (30.5)$$

$$\theta'(\xi_1, F_0) - \text{Bi}_1 \theta(\xi_1, F_0) = -\text{Bi}_1 \theta_{c1}, \quad (30.6)$$

$$\theta'(\xi_2, F_0) + \text{Bi}_2 \theta(\xi_2, F_0) = \text{Bi}_2 \theta_{c2}, \quad (30.7)$$

$$\theta(\xi, 0) = f(\xi), \quad (30.8)^{169}$$

где $F_0 = a\tau/h^2$ — число Фурье; $P_0 = (q_V h^2)/(\lambda T_m)$ — критерий Померанцева; $Bi = (\alpha h)/\lambda$ — критерий Био; $f(\xi) = T_0/T_m = \theta_0$.

Представим в соответствии с изложенным в п. 29 методом решения функцию $\theta(\xi, F_0)$ в виде суммы

$$\theta(\xi, F_0) = \theta^*(\xi, F_0) + \vartheta(\xi, F_0), \quad (30.9)$$

а краевую задачу (30.5)–(30.8) в виде двух следующих задач (30.10)–(30.12) и (30.13)–(30.16):

$$\frac{d^2 \theta^*(\xi)}{d\xi^2} + P_0 = 0, \quad (30.10)$$

$$(\theta^{*'}(\xi_1)) - Bi_1 \theta^*(\xi_1) = -Bi_1 \theta_{c_1}^*, \quad (30.11)$$

$$(\theta^{*'}(\xi_2)) + Bi_2 \theta^*(\xi_2) = Bi_2 \theta_{c_2}^*, \quad (30.12)$$

$$\frac{\partial \vartheta(\xi, F_0)}{\partial F_0} = \frac{\partial^2 \vartheta(\xi, F_0)}{\partial \xi^2}, \quad (30.13)$$

$$\vartheta'(\xi_1, F_0) - Bi_1 \vartheta(\xi_1, F_0) = 0, \quad (30.14)$$

$$\vartheta'(\xi_2, F_0) + Bi_2 \vartheta(\xi_2, F_0) = 0, \quad (30.15)$$

$$\vartheta(\xi, 0) = f(\xi) - \theta^*(\xi, 0). \quad (30.16)$$

Сравнивая математическую модель краевой задачи (30.10)–(30.12) с обобщенной моделью (29.6)–(29.8), видим, что в данном примере

$$a_{\xi\xi} = 1, \quad b_\xi = c_\xi = 0, \quad F(\xi) = P_0,$$

$$\gamma_1 = \gamma_2 = 1, \quad \beta_1 = -Bi_1, \quad \beta_2 = Bi_2,$$

$$f_1(F_0) = -Bi_1 \theta_{c_1}^*, \quad f_2(F_0) = Bi_2 \theta_{c_2}^*.$$

Используя значения указанных величин, таблицу 29.1, а также формулы (29.22), (29.23) и (29.25)–(29.30), получим

$$\left. \begin{aligned} \psi(\xi) &= \xi, & \varphi(\xi) &= 1, \\ H_1(\xi) &= P_0 \xi, & H_2(\xi) &= P_0 \frac{\xi^2}{2}, \end{aligned} \right\} \quad (30.17)$$

$$\begin{aligned}
b_1 &= \frac{1 + \text{Bi}_2}{\text{Bi}_2}, \quad b_2 = \theta_{c_2}^* + \left(\frac{1}{2} + \frac{1}{\text{Bi}_2} \right) P_0, \\
b_3 &= -\text{Bi}_1, \quad b_4 = -\text{Bi}_1 \theta_{c_1}^*, \\
c_3 &= \frac{(\theta_{c_2}^* - \theta_{c_1}^*) + \left(\frac{1}{2} + \frac{1}{\text{Bi}_2} \right) P_0}{\text{Bi}_1 + \text{Bi}_1 \text{Bi}_2 + \text{Bi}_2} \text{Bi}_1 \text{Bi}_2,
\end{aligned} \tag{30.18}$$

$$c_4 = \theta_{c_1}^* + \frac{(\theta_{c_2}^* - \theta_{c_1}^*) + \left(\frac{1}{2} + \frac{1}{\text{Bi}_2} \right) P_0}{\text{Bi}_1 + \text{Bi}_1 \text{Bi}_2 + \text{Bi}_2} \text{Bi}_2, \tag{30.19}$$

Подставив выражения (30.18) и (30.19) для постоянных c_3 и c_4 в формулу (29.24) с учетом (30.17), найдем

$$\theta^* = \theta_{c_1}^* + \frac{(\theta_{c_2}^* - \theta_{c_1}^*) + \left(\frac{1}{2} + \frac{1}{\text{Bi}_2} \right) P_0}{\text{Bi}_1 + \text{Bi}_1 \text{Bi}_2 + \text{Bi}_2} \text{Bi}_2 (1 + \text{Bi}_1 \xi) - P_0 \frac{\xi^2}{2}. \tag{30.20}$$

Умножением левой и правой частей последнего уравнения на T_m его можно преобразовать к виду

$$T = T_{c_1} + \frac{(T_{c_2} - T_{c_1}) + \frac{q_V h^2}{\lambda} \left(\frac{1}{2} + \frac{1}{\text{Bi}_2} \right)}{\text{Bi}_1 + \text{Bi}_1 \text{Bi}_2 + \text{Bi}_2} \text{Bi}_2 \left(1 + \text{Bi}_1 \frac{x}{h} \right) - \frac{q_V}{2\lambda} x^2. \tag{30.21}$$

Формулы для температур граничных поверхностей пластины T_1 и T_2 в установившемся процессе теплообмена можно получить из уравнения (30.21), если принять в нем $x = 0$ и $x = h$ соответственно.

Зависимость T от x в формуле (30.21) может иметь максимум, расположенный внутри пластины.

Координата x , определяющая положение максимальной температуры пластины, получается из равенства нулю производной от T в формуле (30.21) и имеет вид

$$x_{max} = \frac{(T_{c_2} - T_{c_1}) + \frac{q_V h^2}{\lambda} \left(\frac{1}{2} + \frac{1}{\text{Bi}_2} \right)}{\text{Bi}_1 + \text{Bi}_1 \text{Bi}_2 + \text{Bi}_2} \text{Bi}_1 \text{Bi}_2 \frac{\lambda}{q_V h}. \tag{30.22}$$

Подстановка значения $x = x_{max}$ в выражение для температурного поля пластины (30.21) позволяет найти $T = T_{max}$.

Плотности потоков теплоты через граничные поверхности пластины $x = 0$ и $x = h$ в установившемся процессе теплообмена определяются по формулам

$$\begin{aligned} q_1 &= -\lambda \left(\frac{dT}{dx} \right)_{x=0} = \\ &= -\frac{(T_{c_2} - T_{c_1}) + \frac{q_V h^2}{\lambda} \left(\frac{1}{2} + \frac{1}{\text{Bi}_2} \right)}{\text{Bi}_1 + \text{Bi}_1 \text{Bi}_2 + \text{Bi}_2} \text{Bi}_1 \text{Bi}_2 \frac{\lambda}{h}, \end{aligned} \quad (30.23)$$

$$\begin{aligned} q_2 &= -\lambda \left(\frac{dT}{dx} \right)_{x=h} = \\ &= -\frac{(T_{c_2} - T_{c_1}) + \frac{q_V h^2}{\lambda} \left(\frac{1}{2} + \frac{1}{\text{Bi}_2} \right)}{\text{Bi}_1 + \text{Bi}_1 \text{Bi}_2 + \text{Bi}_2} \text{Bi}_1 \text{Bi}_2 \frac{\lambda}{h} + q_V h. \end{aligned} \quad (30.24)$$

Сумма плотностей потоков теплоты, отводимой от левой и правой поверхностей пластины толщиной $h = x_{\max} + (h - x_{\max})$ (рис. 30.1), равна плотности поглощенной в ней энергии от действия внутренних источников теплоты

$$|q_1| + q_2 = q_V h.$$

Возвращаясь к определению нестационарной составляющей температурного поля $\vartheta(\xi, F_0)$, отметим, что применение интегрального преобразования ($\rho(\xi) = 1$ для пластины)

$$\bar{\vartheta}(F_0) = \int_0^1 \bar{\vartheta}(\xi, F_0) \bar{k}(\mu_n, \xi) d\xi$$

к уравнению (30.13) и начальному условию (30.16) приводит их к виду

$$\frac{d\bar{\vartheta}(F_0)}{dF_0} = -\mu_n^2 \bar{\vartheta}(F_0), \quad (30.25)$$

$$\bar{\vartheta}(0) = \bar{f} - \bar{\theta}^*(0). \quad (30.26)$$

Из таблицы 29.2 видно, что функции, образующие решение краевой задачи Штурма—Лиувилля для ненормированного ядра интегрального преобразования, равны

$$\psi(\mu_n, \xi) = \cos(\mu_n \xi) \quad \text{и} \quad \varphi(\mu_n, \xi) = \sin(\mu_n \xi). \quad (30.27)$$

Из формул (30.42) и (30.44) определяется константа интегрирования $B_2 = \text{Bi}_1/\mu_n$ и выражение для ненормированного ядра интегрального преобразования

$$k(\mu_n, \xi) = \cos(\mu_n \xi) + \frac{\text{Bi}_1}{\mu_n} \sin(\mu_n \xi). \quad (30.28)$$

Нормированное ядро преобразования находится из формулы (30.40), в которой норма N определяется из (29.41) совместно с (30.28)

$$\begin{aligned} N &= \int_0^1 k^2(\mu_n, \xi) d\xi = \int_0^1 \left[\cos(\mu_n \xi) + \frac{\text{Bi}_1}{\mu_n} \sin(\mu_n \xi) \right]^2 d\xi = \\ &= \frac{1}{2} \left[1 + \frac{\sin 2\mu_n}{2\mu_n} + \left(\frac{\text{Bi}_1}{\mu_n} \right)^2 \left(1 - \frac{\sin 2\mu_n}{2\mu_n} + \frac{2}{\text{Bi}_1} \sin^2 \mu_n \right) \right]. \end{aligned} \quad (30.29)$$

Характеристическое уравнение для определения собственных чисел μ_n получается в результате подстановки в выражение (29.43) функций (30.27) и значений указанных выше величин B_2, γ_2, β_2

$$\text{ctg } \mu_n = \frac{\mu_n^2 - \text{Bi}_1 \text{Bi}_2}{\mu_n (\text{Bi}_1 + \text{Bi}_2)}. \quad (30.30)$$

Функции \bar{f} и $\bar{\theta}^*(0)$ в правой части условия (30.26) находят путем интегрирования их оригиналов $f(\xi) = \theta_0$ и $\theta^*(\xi)$ (формула (30.20)), умноженных на нормированное ядро

$$\begin{aligned} \bar{f} &= \int_0^1 \theta_0 \bar{k}(\mu_n, \xi) d\xi = \frac{\theta_0}{\sqrt{N}} \int_0^1 \left[\cos(\mu_n \xi) + \frac{\text{Bi}_1}{\mu_n} \sin(\mu_n \xi) \right] d\xi = \\ &= \frac{\theta_0}{\sqrt{N}} \left(\frac{\sin \mu_n}{\mu_n} + \frac{\text{Bi}_1}{\mu_n^2} (1 - \cos \mu_n) \right), \quad (30.31) \\ \bar{\theta}^*(0) &= \int_0^1 \theta^*(\xi) \bar{k}(\mu_n, \xi) d\xi = \\ &= \frac{1}{\sqrt{N}} \left\{ L + L_1 \text{Bi}_1 \left(\frac{\sin \mu_n}{\mu_n} + \frac{\cos \mu_n}{\mu_n^2} - \frac{1}{\mu_n^2} - \frac{\text{Bi}_1 \cos \mu_n}{\mu_n^2} + \frac{\text{Bi}_1 \sin \mu_n}{\mu_n^3} \right) + \right. \end{aligned}$$

$$+ \frac{P_0}{2} \left[-\frac{\sin \mu_n}{\mu_n} - \frac{2 \cos \mu_n}{\mu_n^2} + \frac{2 \sin \mu_n}{\mu_n^3} + \right. \\ \left. + \frac{\text{Bi}_1}{\mu_n^2} \left(\cos \mu_n - \frac{2 \sin \mu_n}{\mu_n} - \frac{2 \cos \mu_n}{\mu_n^2} + \frac{2}{\mu_n^2} \right) \right] \Bigg\} , \quad (30.32)$$

где

$$L_1 = \frac{(\theta_{c_2} - \theta_{c_1}) + P_0 \left(\frac{1}{2} + \frac{1}{\text{Bi}_2} \right)}{\text{Bi}_1 + \text{Bi}_1 \text{Bi}_2 + \text{Bi}_2} \text{Bi}_2 , \quad (30.33)$$

$$L = (\theta_{c_1} + L_1) \left(\frac{\sin \mu_n}{\mu_n} + \frac{\text{Bi}_1}{\mu_n^2} (1 - \cos \mu_n) \right) . \quad (30.34)$$

Подставляя функции \bar{f} и $\bar{\theta}^*(0)$ из формул (30.31) и (30.32) в начальное условие (30.26), последнее преобразуют к виду

$$\bar{\vartheta}(0) = \frac{1}{\sqrt{N}} \left\{ (\theta_0 - \theta_{c_1} - L_1) \left[\frac{\sin \mu_n}{\mu_n} + \frac{\text{Bi}_1}{\mu_n^2} (1 - \cos \mu_n) \right] - \right. \\ - L_1 \text{Bi}_1 \left(\frac{\sin \mu_n}{\mu_n} + \frac{\cos \mu_n}{\mu_n^2} - \frac{1}{\mu_n^2} - \frac{\text{Bi}_1 \cos \mu_n}{\mu_n^2} + \frac{\text{Bi}_1 \sin \mu_n}{\mu_n^3} \right) - \\ - \frac{P_0}{2} \left[-\frac{\sin \mu_n}{\mu_n} - \frac{2 \cos \mu_n}{\mu_n^2} + \frac{2 \sin \mu_n}{\mu_n^3} + \right. \\ \left. + \frac{\text{Bi}_1}{\mu_n^2} \left(\cos \mu_n - \frac{2 \sin \mu_n}{\mu_n} - \frac{2 \cos \mu_n}{\mu_n^2} + \frac{2}{\mu_n^2} \right) \right] \Bigg\} . \quad (30.35)$$

Решая уравнение (30.25) с начальным условием (30.26), получают решение для изображения нестационарной составляющей температурного поля

$$\bar{\vartheta}(F_0) = \bar{\vartheta}(0) \cdot e^{(-\mu_n^2 F_0)} . \quad (30.36)$$

Используя формулу обращения изображения для определения оригинала функции

$$\vartheta(\xi, F_0) = \sum_{n=1}^{\infty} \bar{\vartheta}(F_0) \bar{k}(\mu_n, \xi)$$

совместно с формулами (30.28), (30.40), (30.29), а также (30.35), (30.36), получим выражение для нестационарной составляющей температурного поля в виде

$$\vartheta(\xi, F_0) = \sum_{n=1}^{\infty} \left\{ (\theta_0 - \theta_{c_1} - L_1) \left(\frac{\sin \mu_n}{\mu_n} + \frac{\text{Bi}_1}{\mu_n^2} (1 - \cos \mu_n) \right) - \right.$$

$$\begin{aligned}
& -L_1 \text{Bi}_1 \left(\frac{\sin \mu_n}{\mu_n} + \frac{\cos \mu_n}{\mu_n^2} - \frac{1}{\mu_n^2} - \frac{\text{Bi}_1 \cos \mu_n}{\mu_n^2} + \frac{\text{Bi}_1 \sin \mu_n}{\mu_n^3} \right) - \\
& - \frac{P_0}{2} \left[-\frac{\sin \mu_n}{\mu_n} - \frac{2 \cos \mu_n}{\mu_n^2} + \frac{2 \sin \mu_n}{\mu_n^3} + \right. \\
& \left. + \frac{\text{Bi}_1}{\mu_n^2} \left(\cos \mu_n - \frac{2 \sin \mu_n}{\mu_n} - \frac{2 \cos \mu_n}{\mu_n^2} + \frac{2}{\mu_n^2} \right) \right] \Bigg\} \cdot \\
& \cdot \frac{1}{N} \left[\cos(\mu_n \xi) + \frac{\text{Bi}_1}{\mu_n} \sin(\mu_n \xi) \right] e^{(-\mu_n^2 F_0)}. \quad (30.37)
\end{aligned}$$

Общее решение задачи (30.5)–(30.8) в соответствии с формулой (30.9) равно сумме функций $\theta^*(\xi)$ и $\vartheta(\xi, F_0)$. Таким образом, подставляя в (30.9) выражения для $\theta^*(\xi)$ из уравнения (30.20) и для $\vartheta(\xi, F_0)$ из уравнения (30.37), получим

$$\begin{aligned}
\theta(\xi, F_0) &= \theta_{c_1} + L_1(1 + \text{Bi}_1 \xi) - \frac{P_0}{2} \xi^2 + \\
& + \sum_{n=1}^{\infty} \frac{1}{N} \left\{ (\theta_0 - \theta_{c_1} - L_1) \left(\frac{\sin \mu_n}{\mu_n} + \frac{\text{Bi}_1}{\mu_n^2} (1 - \cos \mu_n) \right) - \right. \\
& - L_1 \text{Bi}_1 \left(\frac{\sin \mu_n}{\mu_n} + \frac{\cos \mu_n}{\mu_n^2} - \frac{1}{\mu_n^2} - \frac{\text{Bi}_1 \cos \mu_n}{\mu_n^2} + \frac{\text{Bi}_1 \sin \mu_n}{\mu_n^3} \right) - \\
& - \frac{P_0}{2} \left[-\frac{\sin \mu_n}{\mu_n} - \frac{2 \cos \mu_n}{\mu_n^2} + \frac{2 \sin \mu_n}{\mu_n^3} + \right. \\
& \left. + \frac{\text{Bi}_1}{\mu_n^2} \left(\cos \mu_n - \frac{2 \sin \mu_n}{\mu_n} - \frac{2 \cos \mu_n}{\mu_n^2} + \frac{2}{\mu_n^2} \right) \right] \Bigg\} \cdot \\
& \cdot \left[\cos(\mu_n \xi) + \frac{\text{Bi}_1}{\mu_n} \sin(\mu_n \xi) \right] e^{(-\mu_n^2 F_0)}. \quad (30.38)
\end{aligned}$$

Подставляя в последнее выражение значение L_1 из уравнения (30.33) и переходя к размерной форме записи температуры, найдем

$$\begin{aligned}
T &= T_{c_1} + \frac{(T_{c_2} - T_{c_1}) + \frac{q_V h^2}{\lambda} \left(\frac{1}{2} + \frac{1}{\text{Bi}_2} \right)}{\text{Bi}_1 + \text{Bi}_1 \text{Bi}_2 + \text{Bi}_2} \text{Bi}_2 \left(1 + \text{Bi}_1 \frac{x}{h} \right) - \frac{q_V}{2\lambda} x^2 + \\
& + \sum_{n=1}^{\infty} e^{(-\mu_n^2 F_0)} \frac{1}{N} \left[\left(\frac{\sin \mu_n}{\mu_n} + \frac{\text{Bi}_1}{\mu_n^2} (1 - \cos \mu_n) \right) \cdot \right.
\end{aligned}$$

$$\begin{aligned}
& \cdot \left(T_0 - T_{c_1} - \frac{(T_{c_2} - T_{c_1}) + \frac{q_V h^2}{\lambda} \left(\frac{1}{2} + \frac{1}{\text{Bi}_2} \right)}{\text{Bi}_1 + \text{Bi}_1 \text{Bi}_2 + \text{Bi}_2} \text{Bi}_2 \right) - \\
& - \frac{(T_{c_2} - T_{c_1}) + \frac{q_V h^2}{\lambda} \left(\frac{1}{2} + \frac{1}{\text{Bi}_2} \right)}{\text{Bi}_1 + \text{Bi}_1 \text{Bi}_2 + \text{Bi}_2} \text{Bi}_1 \text{Bi}_2 \cdot \\
& \cdot \left(\frac{\sin \mu_n}{\mu_n} + \frac{\cos \mu_n}{\mu_n^2} - \frac{1}{\mu_n^2} - \frac{\text{Bi}_1 \cos \mu_n}{\mu_n^2} + \frac{\text{Bi}_1 \sin \mu_n}{\mu_n^3} \right) - \\
& - \frac{q_V h^2}{2\lambda} \left(-\frac{\sin \mu_n}{\mu_n} - \frac{2 \cos \mu_n}{\mu_n^2} + \frac{2 \sin \mu_n}{\mu_n^3} + \right. \\
& \left. + \frac{\text{Bi}_1}{\mu_n^2} \left(\cos \mu_n - \frac{2 \sin \mu_n}{\mu_n} - \frac{2 \cos \mu_n}{\mu_n^2} + \frac{2}{\mu_n^2} \right) \right) \Big] \cdot \\
& \cdot \left(\cos \left(\mu_n \frac{x}{h} \right) + \frac{\text{Bi}_1}{\mu_n} \sin \left(\mu_n \frac{x}{h} \right) \right), \quad (30.39)
\end{aligned}$$

где N определяется по формуле (30.29).

Из выражения (30.39) можно получить решение некоторых частных задач с другими граничными условиями. Например, для пластины без внутренних источников теплоты, изолированной с одной стороны и нагреваемой горячим газом с другой, можно принять $q_V = 0$, $\text{Bi}_1 = 0$ ($\alpha_1 = 0$), $\text{Bi}_2 = \text{Bi}$, $T_{c_2} = T_{\text{r}}$. В этом случае, используя выражение (30.39), находим

$$\frac{T(x, \tau) - T_{\text{r}}}{T_0 - T_{\text{r}}} = \sum_{n=1}^{\infty} A_n e^{(-\mu_n^2 F_0)} \cdot \cos \left(\mu_n \frac{x}{h} \right), \quad (30.40)$$

где

$$A_n = \frac{2 \sin \mu_n}{\mu_n + \sin \mu_n \cos \mu_n}. \quad (30.41)$$

Характеристическое выражение для определения собственных чисел при $\text{Bi} = 0$ в соответствии с формулой (30.30) принимает вид (рис. 30.2):

$$\text{ctg} \mu_n = \frac{\mu_n}{\text{Bi}}. \quad (30.42)$$

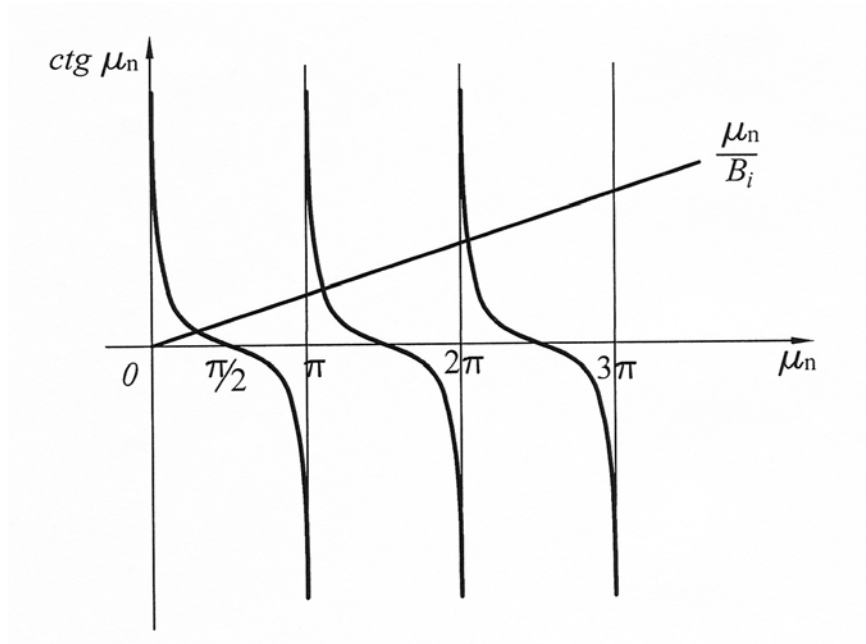


Рис. 30.2. К решению характеристического уравнения (30.42)

Полученное выражение позволяет дать оценку двум широко распространенным допущениям, используемым в расчетах температурного состояния конструкций в рамках принятой выше постановки задачи. Первое из них заключается в том, что в стенке конструкции малой толщины, выполненной из высокотеплопроводного материала, температуру можно считать одинаковой по её толщине — температура не зависит от x и изменяется только во времени.

В рассматриваемом случае термическое сопротивление пластины h/λ мало по сравнению с термическим сопротивлением прилегающего к ней слоя газа $1/\alpha$ и критерий

$$Bi = \frac{\alpha h}{\lambda} = \left(\frac{h}{\lambda} \right) / \left(\frac{1}{\alpha} \right) \rightarrow 0.$$

При этом условии из характеристического уравнения (30.42) получается лишь один корень $\mu_n = \mu_1 = \mu$ малого значения (прямая линия μ_n/Bi на рис. 30.2 стремится прижаться к оси ординат).

Поскольку тангенс малого угла

$$\operatorname{tg} \mu = \frac{\sin \mu}{\cos \mu} \approx \frac{\mu}{1} = \mu,$$

то из выражения

$$\operatorname{ctg} \mu = \frac{1}{\mu} = \frac{\mu}{\operatorname{Bi}}$$

следует, что $\mu = \sqrt{\operatorname{Bi}}$, а из формулы (30.41)

$$A_n = \frac{2\mu}{\mu + \mu \cdot 1} = 1.$$

В этом случае в решении (30.40) можно ограничиться только первым членом ряда. Учитывая, что $\cos(\mu x/h)$ при $x = 0$ и $x = h$ равен 1 и, полагая сохранение этого равенства внутри интервала x от 0 до h , получим

$$\frac{T_{\Gamma} - T(\tau)}{T_{\Gamma} - T_0} = e^{-\operatorname{Bi} F_0} = e^{-\operatorname{Mi}}, \quad (30.43)$$

где $\operatorname{Mi} = (\alpha\tau)/(c\rho h)$ — критерий Михеева.

Таким образом, из выражения (30.43) видно, что температура пластины не зависит от координаты x и изменяется только с течением времени.

Суть второго допущения состоит в том, что на нагреваемой поверхности пластины из низкотеплопроводного материала вместо граничного условия третьего рода можно задавать граничное условие первого рода, принимая $T_n = T_{\Gamma}$.

Примем в этом случае термическое сопротивление пластины h/λ намного больше термического сопротивления $1/\alpha$, т.е.

$$\frac{h}{\lambda} \gg \frac{1}{\alpha} \quad \text{или} \quad \operatorname{Bi} \gg 1 \quad \text{и} \quad \rightarrow \infty.$$

В рассматриваемой ситуации прямая линия μ_n/Bi на рис. 30.2 стремится слиться с осью абсцисс, а в точках её пересечения с линиями котангенса дает значения собственных чисел (корни характеристического уравнения)

$$\mu_n = \frac{2n-1}{2} \pi.$$

Подставляя найденные значения μ_n в формулу (30.41), получим

$$A_n = \frac{4(-1)^{n+1}}{(2n-1)\pi}.$$

Используя формулу (30.40) совместно с этими результатами, находим

$$\frac{T_{\text{r}} - T(x, \tau)}{T_{\text{r}} - T_0} = \sum_{n=1}^{\infty} \frac{4(-1)^{n+1}}{(2n-1)\pi} \cos\left(\frac{2n-1}{2}\pi\frac{x}{h}\right) e^{\left(\frac{2n-1}{2}\pi\right)^2 F_0}.$$

Из последнего выражения видно, что его правая часть при $x = h$ обращается в 0 и на нагреваемой поверхности пластины температура оказывается равной температуре газа

$$T(h, \tau) = T_n = T_{\text{r}}.$$